



# БИООРГАНИЧЕСКАЯ ХИМИЯ

том 12 \* № 11 \* 1986

УДК 577.452.324\*6'134

## АКТИВНЫЕ ЦЕНТРЫ ЭНДО- $\beta$ -1,3-ГЛЮКАНАЗ ИЗ *SPISULA SACHALINENSIS* И *CHLAMYS ALBIDUS*

Назарова Н. И., Мазур А. К., Елякова Л. А.

Тихоокеанский институт биоорганической химии ДВНЦ  
Академии наук СССР, Владивосток

Субстратсвязывающие подцентры эндо- $\beta$ -1,3-глюканаз из кристаллического стебелька морских двустворок *Spisula sachalinensis* (ЛIV) и *Chlamys albidus* (Л<sub>0</sub>) исследовали с использованием гомологической серии ламинариолигосахаридов (*n* 2–6), «меченных» по восстанавливающему концу *n*-нитрофенильным радикалом. ВЭЖХ продуктов начальной стадии реакции ферментативного гидролиза позволила определить частоты расщепления связей субстратов. В соответствии с субсайтной теорией, предложенной Тома, были определены энергии связывания активных центров ЛIV и Л<sub>0</sub>, т. е. получены субсайтные карты активных центров ферментов.

Многие аспекты специфичности и механизма действия эндо- $\beta$ -1,3-глюканаз (КФ 3.2.1.6), выделенных из морских двустворок *Spisula sachalinensis* (ЛIV) и *Chlamys albidus* (Л<sub>0</sub>) уже установлены [1–4]. Ранее делались попытки оценить величину активных центров исследуемых ферментов, исходя из их гидролитического действия на  $\beta$ -1,3-глюкан (ламинарин, степень полимеризации *n* 30) и его короткие аналоги [5–7].

В данной работе мы использовали серию гомологических ламинариолигосахаридов в виде их *n*-нитрофенилгликозидов. Они служат удобными субстратами для детального исследования механизма действия и характеристики активных центров ферментов, в том числе для составления их субсайтных карт, так как наличие арильной группы позволяет легко тестировать образующиеся при ферментативном гидролизе продукты по УФ-поглощению.

В соответствии с методом Тома [8], основанным на предположении, что каждый субстрат может давать с активным центром фермента ряд непродуктивных и продуктивных комплексов (рис. 1), получение тех или иных продуктов связано с образованием определенного продуктивного комплекса, а количество образующихся продуктов должно отражать частоту осуществления способа связывания. Следовательно, количественный анализ продуктов реакции может дать информацию о числе участков связывания, эффективности взаимодействия мономерных остатков субстрата с отдельными участками активного центра и расположении катализитического участка.

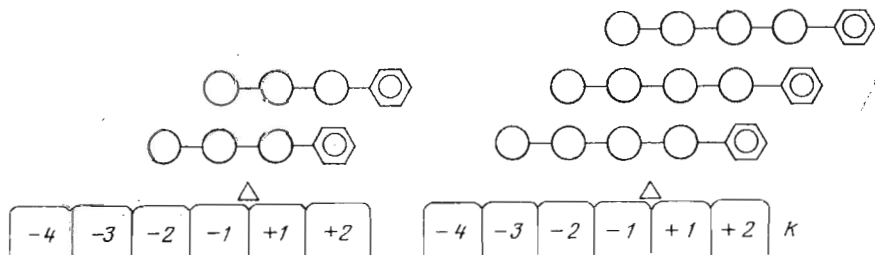


Рис. 1. Схема взаимодействия *n*-нитрофенилгликозидов с активным центром ламинарина (в соответствии с методом [8]) –1—4 – гликоновые подцентры, +1, +2 – агликоновые подцентры. Треугольником обозначен каталитический участок, кружка –  $\beta$ -1,3-связанные остатки глюкозы; – *n*-нитрофенил.

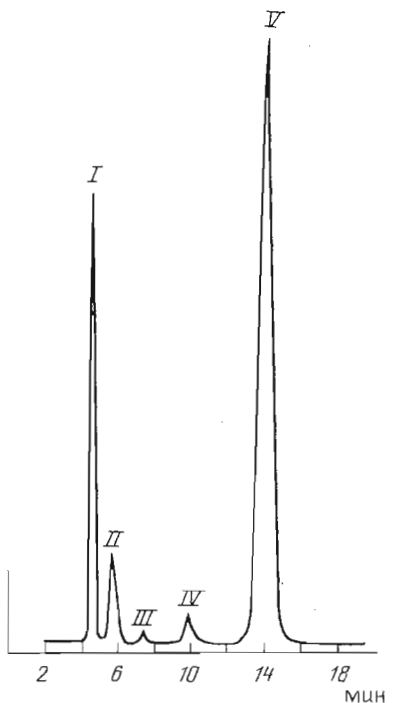


Рис. 2

Рис. 2. Разделение продуктов гидролиза эндо- $\beta$ -1,3-глюканазой ЛIV (30 мин) *n*-нитрофенилпентаозида (V) ВЭЖХ (см. «Экспер. часть»), I—V — *n*-нитрофенилглюкозид, -биозид, -триозид, -тетраозид, -пентаозид соответственно

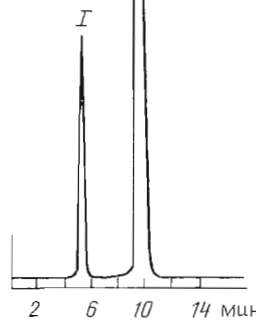


Рис. 3

Рис. 3. Разделение продуктов гидролиза эндо- $\beta$ -1,3-глюканазой Л<sub>₀</sub> (15 мин) *n*-нитрофенилтетраозида (IV). Обозначения как на рис. 2

Для расчета сродства отдельных участков связывания достаточно провести количественный анализ продуктов ферментативного гидролиза ряда линейных субстратов с меченным восстанавливающим концом.

Индивидуальные *n*-нитрофениламиналигозиды с *n* 2–6 были подвергнуты ферментативному гидролизу ламинариназами ЛIV и Л<sub>₀</sub>. С помощью ВЭЖХ анализировали продукты реакции на начальных стадиях гидролиза (рис. 2, 3).

Количественный анализ продуктов позволил получить картину частот расщепления гликозидных связей в линейных субстратах (рис. 4).

В соответствии с методом Тома [8] относительные частоты разрыва связей в олигосахаридах связываются с подцентровой структурой области связывания фермента соотношением

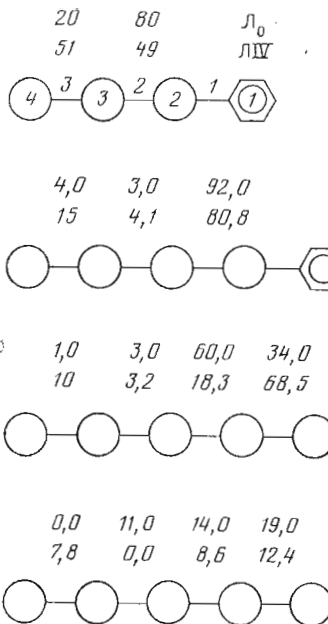
$$-RT \ln \frac{P_{n,i}}{P_{n,i+1}} = \Delta G_{n,i} - \Delta G_{n,i+1}, \quad (1)$$

где  $P_{n,i}$  — относительная частота расщепления *i*-й связи в *n*-мере,  $\Delta G_{n,i}$  — свободная энергия ассоциации соответствующего Е—S-комплекса. Если  $A_k$  — энергия взаимодействия глюкозного остатка субстрата в подцентре фермента с номером *k*, то для гомогенного олигосахарида

$$\Delta G_{n,i} = \sum_{k=-n+i}^i A_k, \quad (2)$$

где использована нумерация подцентров как на рис. 1, а связи в олигосахариде нумеруются, начиная с восстанавливающего конца. Подстановка (2) в (1) дает формулу

$$-RT \ln \frac{P_{n,i}}{P_{n,i+1}} = A_{-n+i} - A_{i+1}, \quad (3)$$



Величины энергий взаимодействия подцентров ( $A_k$ ) активных центров глюканаз ЛIV из *S. sachalinensis* и Л<sub>0</sub> из *C. albidus*

Подцентры	Номер подцентра, $k$	$A_k$ , кДж/моль	
		ЛIV	Л <sub>0</sub>
Гликоновые	-5	-1,38	0,00
	-4	-0,32	+3,84
	-3	-4,40	-5,42
	-2	+3,0	-0,95
Агликоновые	-1	-24,0 *	-
	+1		
	+2	+2,90	+2,49

\* Данные работы [5].

разности (в кДж/моль) можно получить для всех подцентров гликоновой (левой) части активного центра:

$$A_{-2} - A_{-3} = 7,40 \quad [(5) - (7)], \quad (12)$$

$$A_{-3} - A_{-4} = -4,08 \quad [(7) - (11)], \quad (13)$$

$$A_{-2} - A_{-3} = +7,46 \quad [(6) - (8)], \quad (14)$$

$$A_{-4} - A_{-5} = +1,06 \quad [(11) - (10)], \quad (15)$$

$$A_{-3} - A_{-4} = -3,38 \quad [(8) - (9)]. \quad (16)$$

Обычная процедура вычисления абсолютных значений энергий  $A_k$  из разностных соотношений вида (12)–(16) основана на том, что за пределами области связывания значения энергий для воображаемых подцентров должны быть малы и, следовательно, близки друг к другу. Из соотношений (12)–(16) видно, что разница между  $A_{-4}$  и  $A_{-5}$  значительно меньше остальных. Кроме того, применение метода Тома [8] к  $\alpha$ -амилазам показало, что колебания в энергии для виртуальных подцентров обычно составляют  $\sim 300$  ккал/моль, что больше, чем  $A_{-4} - A_{-5}$ . Поэтому мы положили  $A_{-5} = 0$ , вычислив таким образом значения  $A_{-1}, \dots, A_{-4}$ , приведенные в таблице.

В агликоновой части активного центра от влияния «метки» освободиться нельзя, необходимо ввести какие-то предположения о характере взаимодействия *n*-нитрофенильного радикала с участками сорбции. Наиболее разумно предположить, что «метка» взаимодействует неспецифически, т. е. одинаково со всеми подцентрами. В этом случае энергии  $A_k^N$  взаимно исключаются, и карта агликоновой части активного центра фермента может быть также установлена. Аналогично были рассчитаны энергии связывания для Л<sub>0</sub> (см. таблицу, рис. 5). Следует отметить, что Glc<sub>4</sub>-ON<sub>Pr</sub> был единственным субстратом для Л<sub>0</sub>, который давал только один меченный продукт Glc-ON<sub>Pr</sub> (рис. 3). Эта особенность наблюдалась также и на более глубоких стадиях гидролиза.

Данные, представленные в таблице, находятся в хорошем соответствии с данными, полученными другим методом [9], где  $A_k$  подцентров агликоновой части активных центров исследуемых ферментов были определены с использованием в качестве субстрата радиоактивно меченного ламинарина.

Результаты показывают, что активные центры исследуемых ферментов обладают «барьерными» участками (подцентрами с положительными значениями  $A_k$ ), неблагоприятными для связывания мономерной единицы субстрата. Наличие «барьерных» подцентров, предполагаемое нами ранее для глюканаз ЛIV и Л<sub>0</sub> [6], характерно также для некоторых амилаз [10–12].

Характерное для эндоферментов связывание субстратов в гликопротеиновой части не противоречит нашим данным. Согласно рис. 5, значительной по-

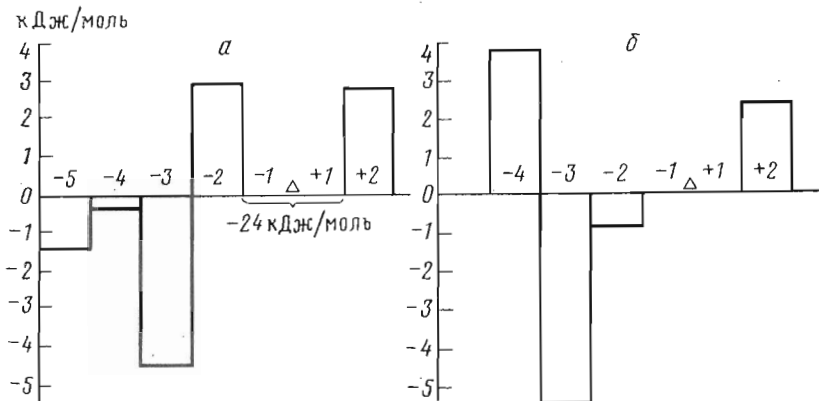


Рис. 5. Гистограмма энергий взаимодействия подцентров активного центра ЛIV (а) и  $L_0$  (б) с глюкозными единицами линейных *n*-нитрофенилолигозидов. Обозначения как на рис. 1. Пояснения в тексте

сравнению с другими подцентрами активного центра сорбционной энергией обладают гликоновые участки  $-3$ , но расположение их относительно «барьерных» подцентров различно. Как видно из таблицы, полученные значения энергий связывания в подцентрах малы по сравнению, например, с активными центрами амилаз [10–12].

К сожалению, используемый метод не может быть применен для определения энергий связывания двух подцентров, соседних с катализитическими группами (участки  $-1$  и  $+1$ ). Однако их общая энергия связывания была рассчитана ранее [5] на основании действия фермента ЛIV на ламинарибизу и ламинаритриозу и оказалась равной  $-5,8$  ккал/моль ( $-24$  кДж/моль). Если принять средство катализитического участка  $-1$  для ЛIV по аналогии с другими эндогликаназами (лизоцим [43]) положительным, то средство первого агликонового участка  $+1$  должно характеризоваться большой отрицательной величиной, в продуктивных комплексах. По-видимому, рядом с катализитическим участком в агликоновой области активного центра расположен участок, обладающий наибольшей сорбционной способностью (участок  $+1$ ). Такое необычное строение активных центров изучаемых эндоламинарина, возможно, связано с их особенностями: наряду с разрывами связей во внутренней области молекулы ламинарина ( $\sim 50\%$ ) значительна также частота разрыва связей вблизи восстанавливающего конца субстрата, что проявляется в накоплении большого количества глюкозы, образующейся при ферментативном гидролизе ламинарина. Этому должно способствовать наличие «барьерных» участков  $+2$  в агликоновой части активного центра обоих ферментов и множественность атаки, осуществляющейся ЛIV [9]. Известно, что в составе пищеварительных ферментов большинства организмов содержатся наборы как эндо-, так и экзоэнзимов ( $\alpha$ - и  $\beta$ -амилазы, эндо- и экзоцеллюлазы и т. д.), которые катализируют превращение полисахаридов до глюкозы. Возможно, описываемое нами строение активных центров ферментов определяется отсутствием экзоглюканаз в кристаллических стебельках морских моллюсков [14].

### Экспериментальная часть

**Ферменты.** Гомогенные эндо- $\beta$ -1,3-глюканазы были получены из кристаллического стебелька морских моллюсков *Spisula sachalinensis* (ЛIV) и *Chlamys albidis* ( $L_0$ ), как описано в работах [1–3]. Реакцию ферментативного гидролиза проводили при оптимальных условиях:  $0,05$  М Na-ацетатный буфер, pH 5,0 (ЛIV), и  $0,05$  М Na-ацетатный буфер в  $0,1$  М NaCl, pH 4,5 ( $L_0$ ). Время гидролиза 15–30 мин. Глубина гидролиза не превышала 20%. Реакцию останавливали избытком ацетонитрила.

**Субстраты.** Гомологическая серия *n*-нитрофенилламинариолигозидов была получена инкубированием *n*-нитрофенил- $\beta$ -D-глюкопиранозида (акцептор) и ламинарина- $\beta$ -1,3-глюкана (донар) из бурый водоросли *L. cycharioides* в присутствии ламинарина-назы из *S. sachalinensis*, как описано ранее в работе [15]. Продукты ферментатив-

ного синтеза разделяли на колонке ( $130 \times 1.6$  см) с биогелем P-2 ( $-400$  меш). Элюцию проводили дистиллированной водой со скоростью  $18$  мл/ч. Получали хроматографически чистые индивидуальные *n*-нитрофенилламинариолигозиды, меченные по восстановливающему концу *n*-нитрофенильным радикалом, которые определяли спектрофотометрически с помощью системы «Uvicord S» при  $280$  нм.

ВЭЖХ-анализ продуктов ферментативного гидролиза проводили на жидкостном хроматографе Du Pont серии 8800, используя колонку ( $4 \times 250$  мм) Partisil Pac (Altex). Скорость элюции  $1$  мл/мин. Элюирующая система: ацетонитрил —  $2.5$  мМ Na-ацетатный буфер, pH  $4.0$ — $4.3$  ( $80 : 20$ ). УФ-детектор регистрировал *n*-нитрофенилолигозиды при  $300$  нм.

Авторы благодарят М. А. Членова за помощь в проведении ВЭЖХ-анализов.

## ЛИТЕРАТУРА

1. Sova V. V., Elyakova L. A., Vaskovsky V. E. Biochim. et biophys. acta, 1970, v. 212, № 1, p. 111—115.
2. Privalova N. M., Elyakova L. A. Comp. Biochem. and Physiol., 1978, v. 60B, № 3, p. 225—228.
3. Sova V. V., Elyakova L. A. Biochim. et biophys. acta, 1972, v. 258, № 1, p. 219—227.
4. Елякова Л. А., Заягинцева Т. Н. Биоорган. химия, 1981, т. 7, № 5, с. 680—685.
5. Елякова Л. А., Заягинцева Т. Н., Привалова Н. М. Биоорган. химия, 1978, т. 4, № 11, с. 1553—1559.
6. Елякова Л. А., Мазур А. К. Молекулярн. биология, 1982, т. 16, вып. 3, с. 499—510.
7. Мазур А. К., Елякова Л. А. Молекулярн. биология, 1983, т. 17, вып. 1, с. 101—111.
8. Thoma J. A., Brothers A., Spradlin J. Biochemistry, 1970, v. 9, № 8, p. 1768—1775.
9. Bezukladnikov P. V., Elyakova L. A. Carbohydr. Res., 1986, in press.
10. Shuganuma T., Matsuno R., Ohnishi M., Hiromi K. J. Biochem., 1978, v. 84, № 2, p. 293—316.
11. Kondo H., Nakatani H., Hiromi K., Matsuno R. J. Biochem., 1978, v. 84, № 2, p. 403—417.
12. Iwasa S., Nakatani H., Hiromi K., Natano H. J. Biochem., 1974, v. 75, № 5, p. 969—978.
13. Chipman D. M., Sharon N. Science, 1969, v. 164, № 3892, p. 454—465.
14. Elyakova L. A., Shilova T. G. Comp. Biochem. and Physiol., 1979, v. 64B, № 3, p. 245—248.
15. Назарова Н. Н., Елякова Л. А. Биоорган. химия, 1982, т. 8, № 9, с. 1189—1196.

Поступила в редакцию  
3.II.1986

## ACTIVE SITES OF THE ENDO- $\beta$ -1,3-GLUCANASES FROM *SPISULA SACHALINENSIS* AND *CHLAMYS ALBIDUS*

NAZAROVA N. I., MAZUR A. K., ELYAKOVA L. A.

Pacific Institute of Bioorganic Chemistry, Far East Science Center, Academy of Sciences of the USSR, Vladivostok

The substrate binding sites of the endo- $\beta$ -1,3-glucanases from crystalline style of marine bivalves *Spisula sachalinensis* (LIV) and *Chlamys albidus* ( $L_0$ ) were investigated using a homologous series ( $n = 2$ — $6$ ) of the laminarioligosaccharides «labeled» at the reducing end by *p*-nitrophenyl radical. HPLC analysis of the products at the initial stage of the enzymatic hydrolysis provided the estimate of the bond cleavage frequencies. According to the subsite theory by Thoma, the affinities of each subsite in LIV and  $L_0$  were evaluated, i. e. the subsite maps for both enzymes were obtained.